

# 椒目油的 $\beta$ -环糊精包合工艺研究

王宏阳<sup>1</sup>, 蒋剑平<sup>1,2\*</sup>, 盛云杰<sup>1</sup>, 陈 华<sup>2</sup>, 熊耀康<sup>1</sup>

1. 浙江中医药大学, 浙江 杭州 310053

2. 浙江省中医院, 浙江 杭州 310007

**摘要:** 目的 考察用  $\beta$ -环糊精包合椒目油  $\text{CO}_2$  超临界萃取油的工艺条件。方法 以包合物收率和油利用率的综合评分作为评价指标, 选择椒目油与  $\beta$ -环糊精的用量比、包合温度及搅拌时间为主要影响因素, 进行  $L_9(3^4)$  正交试验, 优化包合椒目油的工艺条件。结果 最佳包合工艺条件为椒目油与  $\beta$ -环糊精的用量比 1:8, 包合温度 50 °C, 搅拌时间 3 h。结论 椒目油的  $\beta$ -环糊精包合工艺合理、可行, 有效地提高了椒目油的稳定性。

**关键词:** 椒目油;  $\text{CO}_2$  超临界流体萃取;  $\beta$ -环糊精; 包合工艺; 正交试验

中图分类号: R283.6 文献标志码: B 文章编号: 0253-2670(2011)03-0491-04

## Inclusion technology of zanthoxylum seed oil by $\beta$ -cyclodextrin

WANG Hong-yang<sup>1</sup>, JIANG Jian-ping<sup>1,2</sup>, SHENG Yun-jie<sup>1</sup>, CHEN Hua<sup>2</sup>, XIONG Yao-kang<sup>1</sup>

1. Zhejiang University of Traditional Chinese Medicine, Hangzhou 310053, China

2. Traditional Chinese Medicine Hospital of Zhejiang Province, Hangzhou 310007, China

**Key words:** zanthoxylum seed oil; supercritical  $\text{CO}_2$  fluid extraction technology;  $\beta$ -cyclodextrin; inclusion technology; orthogonal test

椒目为芸香科花椒属植物花椒 *Zanthoxylum bungeanum* Maxim. 的干燥成熟种子<sup>[1]</sup>, 是花椒的副产物, 我国大部分地区均有分布。现代药理研究表明, 椒目油及其制剂具有支气管扩张、抗过敏、抗炎、镇咳、祛痰和抗应激作用<sup>[2-3]</sup>。本课题组以  $\alpha$ -亚麻酸提取量和椒目油总萃取得率为指标, 采用正交设计法优选了椒目超临界  $\text{CO}_2$  流体萃取条件, 萃取得椒目油<sup>[4]</sup>, 并制备成椒目油复方制剂“椒枝软胶囊”, 该制剂具有较好的平喘、镇咳、抗炎等作用<sup>[5]</sup>。为了提高椒目油的溶解度、稳定性, 使液体药物粉末化以便于制成质量稳定可控的固体制剂, 本实验采用饱和水溶液法将椒目油  $\text{CO}_2$  超临界萃取油制成  $\beta$ -CD 包合物, 并运用  $L_9(3^4)$  正交试验法优选了最佳包合工艺, 为椒目油  $\text{CO}_2$  超临界萃取油制成各类固体制剂提供实验依据。

### 1 仪器与试药

HA221—40—11 型超临界萃取装置(南通市华安超临界萃取有限公司); 挥发油测定器(宁波宁海

玻璃仪器厂); DF—101S 型集热式恒温加热磁力搅拌器(巩义市英屹予华仪器厂); DHG—9023A 型电热恒温鼓风干燥箱(上海精宏实验设备有限公司); 岛津 UV—2550 型紫外分光光度仪(日本); 岛津 IRPrestige—21 型傅立叶变换红外光谱仪(日本); 岛津 XRD—6000 型 X 射线衍射仪(日本)。

$\beta$ -CD(上海伯奥生物科技有限公司, 批号 080123); 其他试剂均为分析纯。

### 2 方法与结果

#### 2.1 椒目油的超临界 $\text{CO}_2$ 萃取<sup>[4]</sup>

取 40 目椒目药粉 3.5 kg, 投入超临界萃取釜中, 设定萃取条件: 萃取温度 45 °C, 萃取压力 30 MPa, 分离釜 I 压力 8 MPa, 分离釜 II 压力 5.5 MPa, 分离釜 I 温度 35 °C, 分离釜 II 温度 30 °C,  $\text{CO}_2$  流量 45 kg/h 进行萃取, 得淡黄色的椒目油, 萃取率为 12.0%, 椒目油  $\alpha$ -亚麻酸质量分数为 20%。

#### 2.2 椒目油 $\beta$ -CD 包合工艺

##### 2.2.1 预试验 (1) 研磨法: 称取 $\beta$ -CD 6.0 g, 加

收稿日期: 2010-06-11

基金项目: 浙江省科技计划重大项目(2008C13005)

作者简介: 王宏阳(1985—), 男, 硕士研究生, 研究方向为中药制剂质量标准研究。

\*通讯作者 蒋剑平 Tel:(0571)86611022 E-mail: jiangjp\_zjtc@ yahoo.com.cn

4倍量蒸馏水研匀后，缓缓加入1mL椒目油，研磨2h致均匀糊状，抽滤，包合物用乙醚洗涤3次，40℃烘干，称定。(2)饱和水溶液法：称取 $\beta$ -CD 6.0 g，加50 mL蒸馏水，70℃加热搅拌溶解，冷却至40℃，置40℃恒温磁力搅拌器上，缓缓滴加1mL椒目油，恒温搅拌2h，冷却至室温，冷藏24h，抽滤，包合物用乙醚洗涤3次，40℃烘干，称定。

按上述方法分别制备3组包合物，称定质量，计算其收率；再用水蒸气蒸馏法提取包合物中的挥发油，计算挥发油利用率。研磨法包合物平均收率为90.18%，挥发油平均利用率为57.30%；饱和水溶液法包合物平均收率为90.54%，平均油利用率为71.94%。饱和水溶液法的挥发油利用率明显高于研磨法，因此，本研究采用饱和水溶液法制备椒目油的 $\beta$ -CD包合物。

表2 椒目油 $\beta$ -CD包合正交试验结果  
Table 2 Orthogonal test results of  $\beta$ -CD inclusion for zanthoxylum seed oil

试验号	A	B	C	D	包合物收率/%	油利用率/%	综合评分
1	1	1	1	1	84.09	75.76	78.26
2	1	2	2	2	71.85	83.34	79.89
3	1	3	3	3	76.40	40.91	51.56
4	2	1	2	3	68.51	83.34	78.89
5	2	2	3	1	82.05	50.00	59.62
6	2	3	1	2	64.23	33.33	42.60
7	3	1	3	2	84.43	60.61	67.76
8	3	2	1	3	79.28	60.61	66.21
9	3	3	2	1	75.48	50.00	57.64
$\bar{K}_1$	69.903	74.970	62.357	65.173			
$\bar{K}_2$	60.370	68.573	72.140	63.417			
$\bar{K}_3$	63.870	50.600	59.647	65.553			
R	9.533	24.370	12.493	2.136			

**2.2.3 试验方法** 取椒目油1mL，加3mL乙醇溶解。按正交试验中椒目油与 $\beta$ -CD用量比称取 $\beta$ -CD，置于具塞锥形瓶中，加50mL蒸馏水溶解，恒温搅拌，用注射器缓缓滴加入椒目油乙醇溶液，搅拌至规定时间，取出，冷藏静置24h，抽滤，干燥，即得。

**2.2.4 包合物收率、挥发油利用率的测定** 准确称取干燥包合物适量，置圆底烧瓶中，加20倍量水，水蒸汽蒸馏提取挥发油约6h，至刻度管中挥发油不再增加，停止加热，冷却，读数，折算成包合物中实际含油量。

**2.2.2 试验设计** 通过预试验及查阅文献资料<sup>[6]</sup>可知，影响 $\beta$ -CD饱和水溶液法包合工艺的主要因素有： $\beta$ -CD与椒目油用量比(A)、包合温度(B)、搅拌时间(C)；因素水平见表1。按 $L_9(3^4)$ 正交表安排试验，以包合物收率和油利用率为指标，采用综合评分(综合评分=包合物收率×0.3+油利用率×0.7)法筛选最佳包合工艺条件，结果见表2。

表1 因素水平  
Table 1 Factors and levels

水平	因 素		
	A	B / ℃	C / h
1	6 : 1	30	1.0
2	8 : 1	40	2.0
3	10 : 1	50	3.0

$$\text{包合物收率} = \text{包合物质量}/(\beta\text{-CD质量} + \text{油质量})$$

$$\text{油利用率} = \text{包合物中挥发油量}/\text{投油量}$$

**2.2.5 正交试验结果分析** 从正交试验结果直观分析可知，影响综合评分的3个因素的程度顺序依次为B>C>A；由方差分析(表3)结果可知，B和C对试验结果有显著影响，其中B的影响更显著；A对试验结果无显著影响。结合实际生产，确定最佳包合工艺为 $A_1B_1C_2$ ，即加椒目油6倍量的 $\beta$ -CD，包合温度30℃，搅拌时间2.0h。

**2.2.6 验证性试验** 按正交试验优选工艺 $A_1B_1C_2$ 进行包合，包合物于50℃恒温干燥4h。取适量包

表3 方差分析结果

Table 3 Analysis of variance

方差来源	离差平方和	自由度	F值	显著性
A	139.536	2	17.898	
B	957.855	2	122.865	$P < 0.01$
C	259.141	2	33.240	$P < 0.05$
D(误差)	7.800	2		

$$F_{0.05}(2,2)=19.00, F_{0.01}(2,2)=99.00$$

合物, 按“2.2.4”项下操作, 计算包合物收率和油利用率, 重复3次, 包合物平均收率为91.70%, RSD为0.87%; 平均油利用率为75.69%, RSD为1.3%。

### 2.3 椒目油包合物验证与鉴别

**2.3.1 紫外分光光度法(UV)** 样品1: 取包合前椒目油, 加无水乙醇溶解, 滤过除去不溶物, 滤液定容至25 mL。样品2: 取包合物适量, 用水蒸气蒸馏法提取挥发油, 将提取所得挥发油, 用无水硫酸钠干燥后, 无水乙醇溶解、定容至25 mL。样品3: 取包合物适量, 用无水乙醇溶解, 滤过, 滤液定容至25 mL。样品4: 取β-CD适量, 用无水乙醇溶解, 滤过, 滤液定容至25 mL。在200~400 nm波长测定各样品的吸收图谱, 结果见图1。包合前椒目油与包合物的紫外吸收光谱明显不同, 而与从包合物中提取的挥发油的紫外吸收图谱相似, 说明椒目油已经包合进入β-CD分子内部, 形成了稳定的包合物, 椒目油中主要成分在包合过程中没有受到影晌。包合物与β-CD的紫外吸收图谱峰形基本相同, 说明椒目油与β-CD并非简单的混合, 而是被包合进入β-CD分子内部, 椒目油紫外吸收被掩盖。从上述分析可知, 椒目油包合物已形成, 且包合前后椒目油的成分没有发生变化。

**2.3.2 红外光谱法(IR)** 制备3份样品: 椒目油和β-CD混合物采用KBr压片后作为样品1; 椒目油β-CD包合物粉末采用KBr压片作为样品2; 空白β-CD采用KBr压片后作为样品3。将3份样品在4 000~400 cm<sup>-1</sup>波数测定其红外吸收光谱, 比较包合前后红外区吸收峰的变化<sup>[7]</sup>, 测定结果见图2。

椒目油在1 706、1 649 cm<sup>-1</sup>处的特征吸收峰在物理混合物中仍然存在, 而在包合物中该位置的吸收峰明显减弱, 说明所得包合物并非是椒目油与β-CD的物理混合, 而是形成了新的物象, 包合物已经形成。包合物与空白β-CD红外吸收特征相似, 如在578、1 028、1 079、1 156 cm<sup>-1</sup>处两者都有吸收峰, 且峰形相同, 这是由于椒目油包合于β-CD

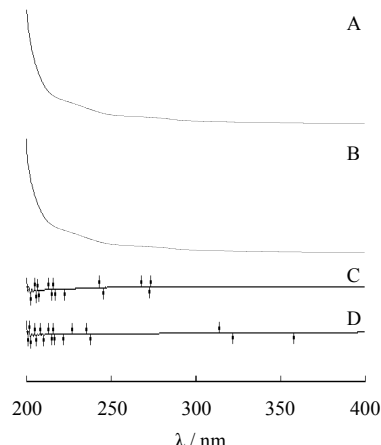


图1 包合前椒目油(A)、包合物中椒目油(B)、包合物(C)、环糊精(D)的紫外吸收图谱

Fig. 1 UV spectra of zanthoxylum seed oil before inclusion (A), zanthoxylum seed oil extracted from inclusion complex (B), inclusion complex (C), and β-CD (D)

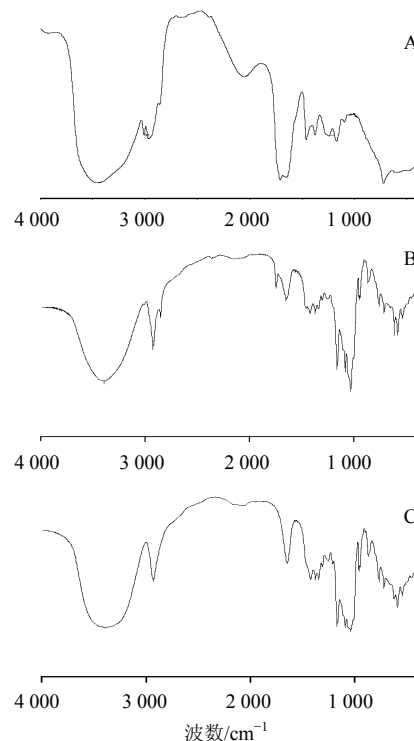


图2 椒目油和β-CD混合物(A)、椒目油β-CD包合物(B)、空白β-CD(C)的红外吸收图谱

Fig. 2 IR spectra of zanthoxylum seed oil and β-CD mixture (A), zanthoxylum seed oil β-CD inclusion complex (B), and blank β-CD (C)

分子空腔内部, 椒目油包合物的红外吸收与β-CD的红外吸收呈现一定的相似性, 但二者的红外吸收并不完全相同, 并不是同一物象。

### 2.3.3 X-射线衍射(XRD)法 分别取少量空白

$\beta$ -CD、椒目油  $\beta$ -CD 包合物、按包合物比例制备的  $\beta$ -CD 和椒目油混合物。以扫描角度作为横坐标, 衍射强度作为纵坐标, 各样品 XRD 测定结果见图 3。由 XRD 图可知, 空白  $\beta$ -CD 的衍射峰较混合物的衍射峰, 在衍射强度上有一些不同, 这主要是受物理混合物中椒目油的影响, 但峰形基本相同。包合物的衍射峰则与前两者峰形有明显不同, 首先是出现了一些新的峰, 如在  $2\theta=10^\circ$ 、 $12.5^\circ$ 、 $18^\circ$ 、 $24^\circ$  左右的峰发生了裂分或出现了新的峰, 其次空白  $\beta$ -CD 和物理混合物在  $26^\circ$ 、 $35^\circ$  有吸收峰, 在包合物中则消失或减弱<sup>[7-8]</sup>。由此说明椒目油包合进入  $\beta$ -CD 分子空穴内, 形成了一个新物象, 包合物已形成。

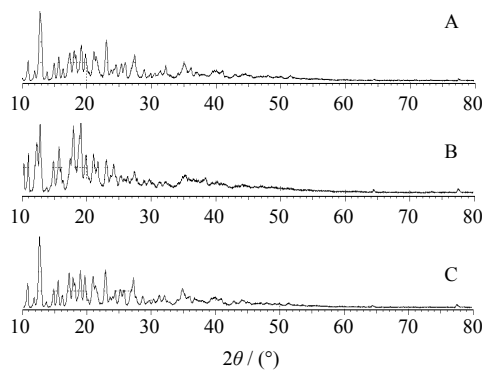


图 3  $\beta$ -CD 和椒目油混合物(A)、椒目油  $\beta$ -CD 包合物(B)、空白  $\beta$ -CD(C) 的 XRD 图

Fig. 3 XRD patterns of zanthoxylum seed oil and  $\beta$ -CD mixture (A), zanthoxylum seed oil  $\beta$ -CD inclusion complex (B), and blank  $\beta$ -CD (C)

### 3 讨论

超临界萃取技术因具有提取温度低, 产品不存在热分解问题, 特别适合热敏性成分的提取与分离; 提取效率高, 选择性强; 产品无溶剂残留, 无环境污染等诸多优势, 因而被高度关注并广泛应用于中药有效物质的提取、分离, 并形成了产业化发展。目前主要用于提取中药亲脂性成分, 包括脂肪油、挥发油类等, 与传统的水蒸气蒸馏法等挥发油提取技术相比, 在产品质量、提取得率、生产周期等方面均具备极大优势, 展现了广阔的应用前景。

赵红等<sup>[9]</sup>采用 GC-MS 分析了椒目超临界提取物中挥发性成分的组成, 结果表明其挥发性成分主要由烷烯类组成, 相对量较高者为  $\beta$ -蒎烯、 $\alpha$ -蒎烯、4-甲基-1-异丙基-3-环己烯-1-醇和十三酸, 上述成分占挥发油总量的 77.78%。烷烯类成分易发生氧化、

分解而失活, 且液体制剂稳定性较差。 $\beta$ -CD 包合技术因具有提高药物稳定性, 使液态药物粉末化, 便于制成质量稳定的固体制剂、靶向制剂等优势而被广泛应用于包合中药挥发油。目前大部分研究是采用水蒸气蒸馏法提取中药挥发油并制备  $\beta$ -CD 包合物, 而对中药超临界提取物的  $\beta$ -CD 包合技术研究鲜见报道, 因此亟需解决  $\beta$ -CD 包合中药超临界提取物的技术问题, 促进并推动中药现代化。

本研究首先通过预试验, 以包合物收率及油利用率为指标, 比较研磨法、饱和水溶液法两种包合物制备方法, 选择了采用饱和水溶液法制备椒目超临界  $\text{CO}_2$  提取油包合物。采用正交试验设计优化了包合工艺, 确立了合理、稳定、可行的  $\beta$ -CD 包合物制备工艺, 达到了较高包合物收率(91.70%)。采用 UV、IR、XRD 法对包合物进行了验证和鉴别, 结果显示包合物形成了一个新的物象。该研究结果可以为其他中药超临界  $\text{CO}_2$  提取挥发油的  $\beta$ -CD 包合提供参考, 为椒目超临界提取油的进一步开发提供基础。

### 参考文献

- [1] 江苏新医学院. 中药大辞典 [M]. 下册. 上海: 上海人民出版社, 1977.
- [2] 金赛红, 谢强敏, 沈文会, 等. 喘宁软胶囊对嗜酸性粒细胞和肥大细胞的抑制作用 [J]. 中草药, 2002, 33(3): 242-244.
- [3] 金赛红, 谢强敏, 陈季强, 等. 喘宁软胶囊对多形核粒细胞生成和释放白三烯的抑制作用 [J]. 中草药, 2003, 34(3): 244-247.
- [4] 许家鸾, 蒋剑平, 陈琳, 等. 正交设计法优选椒目超临界  $\text{CO}_2$  流体萃取工艺 [J]. 中华中医药学刊, 2010, 28(2): 348-349.
- [5] 宋康, 柴秀娟, 骆仙芳, 等. 椒枝软胶囊的药效实验研究 [J]. 浙江中医学院学报, 2003, 27(4): 62-65.
- [6] 曹毅, 张春椿, 熊耀康. 皮炎净颗粒剂中挥发油的提取及包合工艺研究 [J]. 中国现代应用药学杂志, 2009, 26(2): 130-133.
- [7] 李香, 林秀丽. 环糊精包合物表征手段的研究进展 [J]. 食品与药品, 2007, 9(7A): 35-39.
- [8] 宋洪涛, 郭涛, 赵明宏, 等. 苏合香  $\beta$ -环糊精包合物的理化性质考察 [J]. 中草药, 2002, 33(6): 500-502.
- [9] 赵红, 宋爱华, 赵余庆. 椒目超临界提取物中挥发性成分的气相色谱-质谱分析 [J]. 中草药, 2009, 40(9): 1382-1383.